

О.Г. Мішин, ст. викл.

Житомирський військовий інститут радіоелектроніки ім. С.П. Корольова

## МАТЕМАТИЧНА МОДЕЛЬ ВІДГУКУ ПАРАЛЕЛЬНОГО КОЛІВАЛЬНОГО КОНТУРУ НА ДІЮ ФАЗОМАНІПУЛЬВАНОГО СИГНАЛУ

(Представлено д.т.н., проф. Смирновим Ю.А.)

*Пропонується математична модель проходження фазоманіпульованого сигналу через паралельний коливальний контур, яка дозволяє проводити аналіз відгуку сигналу в залежності від параметрів коливального контуру без обмежень і припущень.*

Для вирішення завдань обробки сигналів у певних випадках потрібно розглядати питання смугової фільтрації радіосигналів. В сучасних умовах набувають широкого використання радіосигналі з фазовою модуляцією. Матеріал, що розглядається, присвячено проходженню фазоманіпульваних (ФМн) сигналів через реальний смуговий фільтр у вигляді паралельного коливального контуру (далі – коливального контуру). Відгук коливального контуру на дію ФМн сигналу буде знайдено операторним методом за допомогою перетворень Лапласа. Пошук вихідної реалізації коливального контуру на дію ФМн сигналу умовно буде поділено на 3 етапи:

- 1)  $u_{ex}(t) \rightarrow U_{ex}(p)$  – знаходження зображення ФМн сигналу;
- 2)  $K(p)$  – знаходження передаточної функції коливального контуру;
- 3)  $U_{aux}(p) = K(p) \cdot U_{ex}(p) \rightarrow u_{aux}(t)$  – знаходження оригіналу відгуку, який відповідає вихідному зображенням дії ФМн сигналу на коливальний контур.

### 1. Зображення ФМн сигналу

Часове подання ФМн сигналу дамо у вигляді реального сигналу, який складається з окремих дискрет (1.1):

$$u_{ex}(t) = \sum_{i=0}^{N-1} U_i \cdot \cos(\omega_o t + \Theta_i) \cdot [\sigma(t - i \cdot \tau_d) - \sigma(t - (i+1) \cdot \tau_d)], \quad (1)$$

де  $N$  – кількість дискрет ФМн сигналу;

$U_i$  – амплітуди дискрет ФМн сигналу;

$\Theta_i$  – закон зміни фаз ФМн сигналу;

$\omega_o$  – несуча частота ФМн сигналу;

$i$  – порядковий номер дискрета ФМн сигналу;

$\tau_d$  – тривалість дискрета ФМн сигналу;

$$\sigma(t) = \begin{cases} 0, & \text{якщо } t < 0 \\ 0.5, & \text{якщо } t = 0 \\ 1, & \text{якщо } t > 0 \end{cases} \quad \text{– функція вмикання (функція Хевісайда);}$$

$t$  – реальний час.

Оскільки ФМн сигнал було подано у вигляді суми окремих дискрет сигналу, то, згідно з лінійністю перетворення Лапласа, зображення ФМн сигналу буде у вигляді суми зображень окремих дискрет сигналу.

#### 1.1. Зображення дискрета ФМн сигналу

Часове подання дискрета ФМн сигналу (2)

$$u_d(i, t) = U_i \cdot \cos(\omega_o t + \Theta_i) \cdot [\sigma(t - i \cdot \tau_d) - \sigma(t - (i+1) \cdot \tau_d)]. \quad (2)$$

Скористаємося лінійністю перетворення Лапласа та розділимо кожну дискрету на дві функції (4, 5):

$$u_d(i, t) = U_i \cdot [f_1(i, t) - f_2(i, t)], \quad (3)$$

$$\text{де } f_1(i, t) = \cos(\omega_o t + \Theta_i) \cdot \sigma(t - i \cdot \tau_d), \quad (4)$$

$$f_2(i, t) = \cos(\omega_o t + \Theta_i) \cdot \sigma(t - (i+1) \cdot \tau_d), \quad (5)$$

які дуже схожі за своєю будовою.

Знайдемо зображення функції (4).

Введемо нову величину  $\eta = t - i \cdot \tau_d$ , для якої  $t = \eta + i \cdot \tau_d$ . Зробимо заміну в (4) змінної  $t$  на змінну  $\eta$  і отримаємо

$$f_1(i, \eta) = \cos[\omega_o \cdot (\eta + i \cdot \tau_d + \frac{\Theta_i}{\omega_o})] \cdot \sigma(\eta). \quad (6)$$

У відповідності до таблиці перетворення Лапласа [1]

$$\cos(a \cdot t) \Leftrightarrow \frac{p}{p^2 + a^2}, \quad (7)$$

оригіналу функції  $\cos(a \cdot t)$  відповідає зображення  $\frac{p}{p^2 + a^2}$  (далі  $\cos(a \cdot t) \Leftrightarrow \frac{p}{p^2 + a^2}$ ), де за константу  $a$  виступає  $\omega_o$ .

Відповідно до теореми зміщення у часі [2]

$$f(t + to) \Leftrightarrow e^{p \cdot to} \cdot F(p), \quad (8)$$

де  $f(t) \Leftrightarrow F(p)$  – перетворення Лапласа функції  $f(t)$ .

Для нашого випадку  $to = i \cdot \tau_d + \frac{\Theta_i}{\omega_o}$  і тому отримаємо зображення  $f_1(i, \eta)$ :

$$f_1(i, \eta) \Leftrightarrow F_1(i, p) = e^{(i \cdot \tau_d + \frac{\Theta_i}{\omega_o}) \cdot p} \cdot \frac{p}{p^2 + \omega_o}. \quad (9)$$

Аналогічним чином знаходиться зображення  $f_2(i, \eta)$ :

$$f_{21}(i, \eta) \Leftrightarrow F_2(i, p) = e^{((i+1) \cdot \tau_d + \frac{\Theta_i}{\omega_o}) \cdot p} \cdot \frac{p}{p^2 + \omega_o}. \quad (10)$$

Таким чином, зображення дискрета ФМн сигналу з (8) і (9) набуває вигляду:

$$F_d(i, p) = U_i \cdot [F_1(i, p) - F_2(i, p)] = U_i \cdot \frac{p}{p^2 + \omega_o} \cdot (e^{(i \cdot \tau_d + \frac{\Theta_i}{\omega_o}) \cdot p} - e^{((i+1) \cdot \tau_d + \frac{\Theta_i}{\omega_o}) \cdot p}). \quad (11)$$

Отже, зображення ФМн сигналу має вигляд:

$$U_{ex}(p) = \sum_{i=0}^{N-1} U_i \cdot [F_1(i, p) - F_2(i, p)]. \quad (12)$$

## 2. Зображення передаточної функції коливального контуру

Розглянемо коливальний контур (рис. 1).

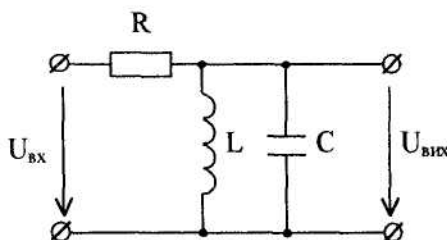


Рис. 1

Комплексна передаточна функція коливального контуру:

$$K(j\omega) = \frac{\dot{U}_{ex}}{\dot{U}_{vых}} = \frac{j \cdot \dot{Z}_{LC}}{I \cdot (R + \dot{Z}_{LC})} = \frac{\dot{Z}_{LC}}{R + \dot{Z}_{LC}} = \frac{j\omega L}{j^2\omega^2 RLC + j\omega L + R}, \quad (13)$$

де  $\dot{U}_{ex}$ ,  $\dot{U}_{vых}$  – відповідні значення вхідної та вихідної напруг;

$I$  – струм контуру;

$\hat{Z}_{LC} = \frac{j\omega L}{1 + j^2\omega^2 LC}$  – комплексний опір паралельно з'єднаних індуктивності та ємності;

$R$  – опір резистора;

$L$  – індуктивність катушки;

$C$  – ємність конденсатора.

Перехід до зображення передаточної функції здійснюється заміною  $j\omega$  на  $p$ . Отримаємо зображення:

$$K(p) = \frac{pL}{p^2 RLC + pL + R} = \frac{p}{RC(p^2 + \frac{1}{RC}p + \frac{1}{LC})} = \frac{2p}{\tau_k \cdot (p^2 + \frac{2}{\tau_k}p + \omega_p^2)}, \quad (14)$$

$$\tau_k = 2RC = \frac{2Q}{\omega_p}, \quad (15)$$

$$\omega_p = \frac{1}{\sqrt{LC}}, \quad (16)$$

де  $\tau_k$  – стала часу коливального контуру [2];

$\omega_p$  – резонансна частота коливального контуру;

$Q$  – добродійність контуру.

### 3. Оригінал відгуку дії ФМи сигналу на коливальний контур

#### 3.1. Зображення відгуку

Відповідно до операторного методу отримуємо наступне зображення відгуку:

$$U_{aux}(p) = K(p) \cdot U_{ex}(p) = \frac{2p}{\tau_k \cdot (p^2 + \frac{2}{\tau_k}p + \omega_p^2)} \cdot \sum_{i=0}^{N-1} U_i \cdot [F_1(i, p) - F_2(i, p)]. \quad (17)$$

Внесемо під знак суми дріб  $\frac{2p}{\tau_k \cdot (p^2 + \frac{2}{\tau_k}p + \omega_p^2)}$ .

$$U_{aux}(p) = \sum_{i=0}^{N-1} U_i \cdot \frac{2p}{\tau_k \cdot (p^2 + \frac{2}{\tau_k}p + \omega_p^2)} \cdot [F_1(i, p) - F_2(i, p)]. \quad (18)$$

Після помноження внесеноого дробу на функції-зображення  $F_1(i, p)$  і  $F_2(i, p)$  отримаємо:

$$U_{aux}(p) = \sum_{i=0}^{N-1} U_i \cdot \frac{p}{p^2 + \omega_o} \cdot \frac{2p}{\tau_k \cdot (p^2 + \frac{2}{\tau_k}p + \omega_p^2)} \cdot (e^{(i \cdot \tau_d + \frac{\Theta_i}{\omega_o})p} - e^{((i+1) \cdot \tau_d + \frac{\Theta_i}{\omega_o})p}). \quad (19)$$

Для спрощення знаходження оригіналу виразу (19) необхідно добуток дробів перетворити на їх суми наступним чином:

$$\frac{p}{p^2 + \omega_o} \cdot \frac{p}{\tau_k \cdot (p^2 + \frac{2}{\tau_k}p + \omega_p^2)} = \frac{Ap + B}{\tau_k \cdot (p^2 + \frac{2}{\tau_k}p + \omega_p^2)} + \frac{Cp + D}{p^2 + \omega_o}, \quad (20)$$

де  $A, B, C, D$  – сталі, які знаходяться з приведення суми дробів до одного знаменника:

$$\frac{p}{p^2 + \omega_o} \cdot \frac{p}{\tau_k \cdot (p^2 + \frac{2}{\tau_k}p + \omega_p^2)} = \frac{(Ap + B) \cdot (p^2 + \frac{2}{\tau_k}p + \omega_p^2) + (Cp + D) \cdot (p^2 + \omega_o)}{\tau_k \cdot (p^2 + \frac{2}{\tau_k}p + \omega_p^2) \cdot (p^2 + \omega_o)}. \quad (21)$$

Для виконання рівняння (21) необхідно вимагати, щоб чисельник лівого дробу дорівнювався чисельнику правого дробу. Після розкриття дужок отримаємо:

$$Ap^3 + A\omega_o^2 p + Bp^2 + B\omega_o^2 + Cp^3 + \frac{2C}{\tau_k}p^2 + C\omega_p^2 p + Dp^2 + \frac{2D}{\tau_k}p + D\omega_p^2 = p^2. \quad (22)$$

З (22) слідує система рівнянь:

$$\left\{ \begin{array}{l} p^3(A + C) = 0, \\ p^2(B + \frac{2C}{\tau_k} + D) = p^2, \\ p(A\omega_o^2 + C\omega_p^2 + \frac{2D}{\tau_k}) = 0, \\ B\omega_o^2 + D\omega_p^2 = 0, \\ A + C = 0, \\ B + \frac{2C}{\tau_k} + D = 1, \\ A\omega_o^2 + C\omega_p^2 + \frac{2D}{\tau_k} = 0, \\ B\omega_o^2 + D\omega_p^2 = 0. \end{array} \right. \quad (23)$$

Вирішувати систему рівнянь (23) будемо методом вираження одної сталої через іншу та підстановкою у наступне рівняння:

$$\left\{ \begin{array}{l} A = -C, \\ B = -D \frac{\omega_p^2}{\omega_o^2}, \\ -C\omega_o^2 + C\omega_p^2 + \frac{2D}{\tau_k} = 0, \\ -D \frac{\omega_p^2}{\omega_o^2} + \frac{2C}{\tau_k} + D = 1. \end{array} \right. \quad (24)$$

З (24) і (15) слідує

$$\frac{2D}{\tau_k} = C(\omega_o^2 - \omega_p^2), \quad D = C \frac{\tau_k}{2} (\omega_o^2 - \omega_p^2) = C \frac{Q}{\omega_p} (\omega_o^2 - \omega_p^2) = CQ\omega_o\nu, \quad (25)$$

$$\nu = \frac{\omega_o}{\omega_p} - \frac{\omega_p}{\omega_o} = \frac{\omega_o^2 - \omega_p^2}{\omega_p \omega_o}, \quad (26)$$

де  $\nu$  – відносне розстроювання.

З (25), (25) і (15) слідує

$$-CQ\omega_o \frac{\omega_p^2}{\omega_o^2} + C \frac{2}{\tau_k} + CQ\omega_o\nu = 1, \quad (27)$$

$$C = \frac{1}{-Q \frac{\omega_p^2}{\omega_o^2} + \frac{2}{\tau_k} + Q\omega_o\nu} = \frac{\omega_o\tau_k}{2\omega_o + Q\omega_o^2\tau_k - Q\nu\omega_p^2\tau_k} = \frac{\tau_k}{2(1 + Q^2\nu^2)}, \quad (28)$$

$$A = \frac{-\tau_k}{2(1 + Q^2\nu^2)}, \quad (29)$$

$$D = \frac{Q^2\nu}{(1 + Q^2\nu^2)} \frac{\omega_o}{\omega_p}, \quad (30)$$

$$B = \frac{-Q^2\nu}{(1 + Q^2\nu^2)} \frac{\omega_p}{\omega_o}. \quad (31)$$

У випадку  $\omega_p = \omega_0$  сталі  $B = D = 0$ ,  $C = -A = \frac{\tau_k}{2}$ .

Для (19) зображення відгуку дамо у вигляді двох частин:

$$U_{aux}(p) = U1_{aux}(p) - U2_{aux}(p), \quad (32)$$

$$\text{де } U1_{aux}(p) = \sum_{i=0}^{N-1} U_i \cdot \frac{p}{p^2 + \omega_o} \cdot \frac{2p}{\tau_k \cdot (p^2 + \frac{2}{\tau_k} p + \omega_p^2)} \cdot e^{(i \cdot \tau_d + \frac{\Theta_i}{\omega_o}) \cdot p}, \quad (33)$$

$$U2_{aux}(p) = \sum_{i=0}^{N-1} U_i \cdot \frac{p}{p^2 + \omega_o} \cdot \frac{2p}{\tau_k \cdot (p^2 + \frac{2}{\tau_k} p + \omega_p^2)} \cdot e^{((i+1) \cdot \tau_d + \frac{\Theta_i}{\omega_o}) \cdot p}. \quad (34)$$

Скориставшись перетворенням (20) на суму дробів зі сталими (28)–(31), запишемо (33):

$$\begin{aligned} U1_{aux}(p) &= \frac{2}{\tau_k} \sum_{i=0}^{N-1} U_i \cdot \left\{ \frac{\frac{\tau_k}{2(1+Q^2\nu^2)} p + \frac{Q^2\nu}{(1+Q^2\nu^2)} \frac{\omega_o}{\omega_p}}{p^2 + \omega_o} - \frac{\frac{\tau_k}{2(1+Q^2\nu^2)} p + \frac{Q^2\nu}{(1+Q^2\nu^2)} \frac{\omega_p}{\omega_o}}{p^2 + \frac{2}{\tau_k} p + \omega_p^2} \right\} \cdot e^{(i \cdot \tau_d + \frac{\Theta_i}{\omega_o}) \cdot p}, \quad (35) \\ U1_{aux}(p) &= \frac{1}{1+Q^2\nu^2} \sum_{i=0}^{N-1} U_i \cdot \left\{ \frac{p + \frac{2Q^2\nu}{\tau_k} \frac{\omega_o}{\omega_p}}{p^2 + \omega_o} - \frac{p + \frac{2Q^2\nu}{\tau_k} \frac{\omega_p}{\omega_o}}{p^2 + \frac{2}{\tau_k} p + \omega_p^2} \right\} \cdot e^{(i \cdot \tau_d + \frac{\Theta_i}{\omega_o}) \cdot p}, \\ U1_{aux}(p) &= \frac{1}{1+Q^2\nu^2} \sum_{i=0}^{N-1} U_i \cdot \left\{ \frac{p + Q\nu \omega_o}{p^2 + \omega_o} - \frac{p + Q\nu \frac{\omega_p^2}{\omega_o}}{p^2 + \frac{2}{\tau_k} p + \omega_p^2} \right\} \cdot e^{(i \cdot \tau_d + \frac{\Theta_i}{\omega_o}) \cdot p}, \\ U1_{aux}(p) &= \frac{1}{1+Q^2\nu^2} \sum_{i=0}^{N-1} U_i \cdot \left\{ \frac{p + Q\nu \omega_o}{p^2 + \omega_o} - \frac{\left(p + \frac{1}{\tau_k}\right) - \frac{1}{\tau_k} + Q\nu \frac{\omega_p^2}{\omega_o}}{\left(p + \frac{1}{\tau_k}\right)^2 + \omega_p^2 - \frac{1}{\tau_k^2}} \right\} \cdot e^{(i \cdot \tau_d + \frac{\Theta_i}{\omega_o}) \cdot p}. \end{aligned} \quad (36)$$

Аналогічно можливо отримати перетворення (34):

$$U1_{aux}(p) = \frac{1}{1+Q^2\nu^2} \sum_{i=0}^{N-1} U_i \cdot \left\{ \frac{p + Q\nu \omega_o}{p^2 + \omega_o} - \frac{\left(p + \frac{1}{\tau_k}\right) - \frac{1}{\tau_k} + Q\nu \frac{\omega_p^2}{\omega_o}}{\left(p + \frac{1}{\tau_k}\right)^2 + \omega_p^2 - \frac{1}{\tau_k^2}} \right\} \cdot e^{((i+1) \cdot \tau_d + \frac{\Theta_i}{\omega_o}) \cdot p}. \quad (37)$$

### 3.2. Оригінал відгуку

Скориставшись лінійністю перетворення Лапласа, знайдемо оригінал (32) через оригінали зображень (36) і (37), які схожі за своєю будовою. Для (36) скористаємося лінійністю перетворення Лапласа табличним перетворенням (7)

$$\frac{1}{a} \sin(a \cdot t) \Leftrightarrow \frac{1}{p^2 + a^2}, \quad (38)$$

теоремою зміщення оригіналу (8) і теоремою зміщення зображення [2]

$$f(t) \cdot e^{-at} \Leftrightarrow F(p+a), \quad (39)$$

де  $f(t) \Leftrightarrow F(p)$  – перетворення Лапласа функції  $f(t)$ , отримаємо:

$$\begin{aligned}
U1_{aux}(\eta) = & \frac{1}{1+Q^2\nu^2} \sum_{i=0}^{N-1} U_i \times \\
& \times \left\{ \cos\left(\omega_o \left[ \eta + i \cdot \tau_d + \frac{\Theta_i}{\omega_o} \right] \right) + Q\nu \cdot \sin\left(\omega_o \left[ \eta + i \cdot \tau_d + \frac{\Theta_i}{\omega_o} \right] \right) - \right. \\
& - e^{\frac{-\eta}{\tau_k}} \cdot \left[ \cos\left(\sqrt{\omega_p^2 - \frac{1}{\tau_k^2}} \left[ \eta + i \cdot \tau_d + \frac{\Theta_i}{\omega_o} \right] \right) + \right. \\
& \left. \left. + \frac{1}{\sqrt{\omega_p^2 - \frac{1}{\tau_k^2}}} \left( Q\nu \frac{\omega_p^2}{\omega_o} - \frac{1}{\tau_k} \right) \sin\left(\sqrt{\omega_p^2 - \frac{1}{\tau_k^2}} \left[ \eta + i \cdot \tau_d + \frac{\Theta_i}{\omega_o} \right] \right) \right] \right\} \cdot \sigma(\eta). \quad (40)
\end{aligned}$$

Введемо величину  $\eta = t - i \cdot \tau_d$ , для якої  $t = \eta + i \cdot \tau_d$ , замінимо в (40) на змінну  $t$  і отримаємо:

$$\begin{aligned}
U1_{aux}(t) = & \frac{1}{1+Q^2\nu^2} \sum_{i=0}^{N-1} U_i \times \\
& \times \left\{ \cos\left(\omega_o \left[ t + \frac{\Theta_i}{\omega_o} \right] \right) + Q\nu \cdot \sin\left(\omega_o \left[ t + \frac{\Theta_i}{\omega_o} \right] \right) + \right. \\
& - e^{\frac{-t+i\tau_d}{\tau_k}} \cdot \left[ \cos\left(\sqrt{\omega_p^2 - \frac{1}{\tau_k^2}} \left[ t + \frac{\Theta_i}{\omega_o} \right] \right) + \right. \\
& \left. \left. + \frac{1}{\sqrt{\omega_p^2 - \frac{1}{\tau_k^2}}} \left( Q\nu \frac{\omega_p^2}{\omega_o} - \frac{1}{\tau_k} \right) \sin\left(\sqrt{\omega_p^2 - \frac{1}{\tau_k^2}} \left[ t + \frac{\Theta_i}{\omega_o} \right] \right) \right] \right\} \cdot \sigma(t - i \cdot \tau_d). \quad (41)
\end{aligned}$$

Аналогічно отримуємо оригінал для (37):

$$\begin{aligned}
U2_{aux}(t) = & \frac{1}{1+Q^2\nu^2} \sum_{i=0}^{N-1} U_i \times \\
& \times \left\{ \cos\left(\omega_o \left[ t + \frac{\Theta_i}{\omega_o} \right] \right) + Q\nu \cdot \sin\left(\omega_o \left[ t + \frac{\Theta_i}{\omega_o} \right] \right) + \right. \\
& - e^{\frac{-t+(i+1)\tau_d}{\tau_k}} \cdot \left[ \cos\left(\sqrt{\omega_p^2 - \frac{1}{\tau_k^2}} \left[ t + \frac{\Theta_i}{\omega_o} \right] \right) + \right. \\
& \left. \left. + \frac{1}{\sqrt{\omega_p^2 - \frac{1}{\tau_k^2}}} \left( Q\nu \frac{\omega_p^2}{\omega_o} - \frac{1}{\tau_k} \right) \sin\left(\sqrt{\omega_p^2 - \frac{1}{\tau_k^2}} \left[ t + \frac{\Theta_i}{\omega_o} \right] \right) \right] \right\} \cdot \sigma(t - (i+1) \cdot \tau_d). \quad (42)
\end{aligned}$$

З (41) і (42) отримуємо кінцевий вираз для оригіналу відгуку:

$$\begin{aligned}
u_{aux}(t) = & U1_{aux}(t) - U2_{aux}(t) = \frac{1}{1+Q^2\nu^2} \sum_{i=0}^{N-1} U_i \times \\
& \times \left\{ \cos\left(\omega_o \left[ t + \frac{\Theta_i}{\omega_o} \right] \right) + Q\nu \cdot \sin\left(\omega_o \left[ t + \frac{\Theta_i}{\omega_o} \right] \right) + \right. \\
& - e^{\frac{-t+i\tau_d}{\tau_k}} \cdot \left[ \cos\left(\sqrt{\omega_p^2 - \frac{1}{\tau_k^2}} \left[ t + \frac{\Theta_i}{\omega_o} \right] \right) + \right.
\end{aligned}$$

$$\begin{aligned}
& + \frac{1}{\sqrt{\omega_p^2 - \frac{1}{\tau_k^2}}} \left( Q_V \frac{\omega_p^2}{\omega_o} - \frac{1}{\tau_k} \right) \sin \left( \sqrt{\omega_p^2 - \frac{1}{\tau_k^2}} \left[ t + \frac{\Theta_i}{\omega_o} \right] \right) \Bigg] \cdot \sigma(t - i \cdot \tau_d) - \\
& - \frac{1}{1 + Q^2 V^2} \sum_{i=0}^{N-1} U_i \times \left\{ \cos \left( \omega_o \left[ t + \frac{\Theta_i}{\omega_o} \right] \right) + Q_V \cdot \sin \left( \omega_o \left[ t + \frac{\Theta_i}{\omega_o} \right] \right) + \right. \\
& \left. - e^{\frac{-t-(i+1) \cdot \tau_d}{\tau_k}} \cdot \left[ \cos \left( \sqrt{\omega_p^2 - \frac{1}{\tau_k^2}} \left[ t + \frac{\Theta_i}{\omega_o} \right] \right) + \right. \right. \\
& \left. \left. + \frac{1}{\sqrt{\omega_p^2 - \frac{1}{\tau_k^2}}} \left( Q_V \frac{\omega_p^2}{\omega_o} - \frac{1}{\tau_k} \right) \sin \left( \sqrt{\omega_p^2 - \frac{1}{\tau_k^2}} \left[ t + \frac{\Theta_i}{\omega_o} \right] \right) \right] \right\} \cdot \sigma(t - (i+1) \cdot \tau_d) . \\
u_{aux}(t) = & \frac{1}{1 + Q^2 V^2} \sum_{i=0}^{N-1} U_i \times \\
& \times \left\{ \cos \left( \omega_o \left[ t + \frac{\Theta_i}{\omega_o} \right] \right) + Q_V \cdot \sin \left( \omega_o \left[ t + \frac{\Theta_i}{\omega_o} \right] \right) \cdot [\sigma(t - i \cdot \tau_d) - \sigma(t - (i+1) \cdot \tau_d)] - e^{\frac{-t+i}{\tau_k}} \right. \\
& \times \left[ \cos \left( \sqrt{\omega_p^2 - \frac{1}{\tau_k^2}} \left[ t + \frac{\Theta_i}{\omega_o} \right] \right) + \frac{1}{\sqrt{\omega_p^2 - \frac{1}{\tau_k^2}}} \left( Q_V \frac{\omega_p^2}{\omega_o} - \frac{1}{\tau_k} \right) \sin \left( \sqrt{\omega_p^2 - \frac{1}{\tau_k^2}} \left[ t + \frac{\Theta_i}{\omega_o} \right] \right) \right. \\
& \left. \left. \times \left[ \sigma(t - i \cdot \tau_d) - e^{\frac{\tau_d}{\tau_k}} \cdot \sigma(t - (i+1) \cdot \tau_d) \right] \right\} . \tag{43}
\end{aligned}$$

Таким чином, знайдено часове подання відгуку (43) дії фазоманіпульованого сигналу на паралельний коливальний контур, який можна використовувати у математичній моделі дослідження проходження ФМн сигналу через реальний смуговий фільтр.

#### ЛІТЕРАТУРА:

1. Корн Г., Корн Т. Справочник по математике для научных работников и инженеров. Определения, теоремы, формулы. – М.: Наука, 1984. – 832 с.
2. Баскаков С.И. Радиотехнические цепи и сигналы: Учебник. – М.: Высшая школа, 1983. – 536 с.

МІШИН Олег Геннадійович – старший викладач Житомирського військового інституту радіоелектроніки ім. С.П. Корольова.

Наукові інтереси:

- автоматизація процесів обробки інформації;
- методи та алгоритми вторинної обробки інформації.